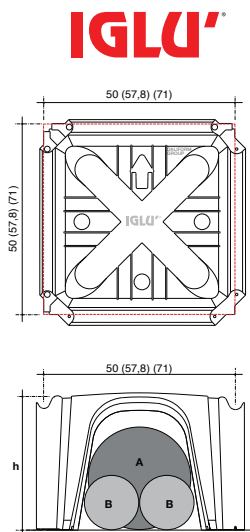


## Gama

O material não teme as intempéries e, portanto, pode ser armazenado em ambiente externo.



Em função das várias alturas a forma do molde diferirá daquela em planta.

	H cm	4	6
Dimensões úteis*	cm	50x50	50x50
Altura h Espaço livre túnel	h cm	2,2	3,9
Diâmetro máx. tubo A	1 x Ø cm	2,2	3,9
Diâmetro máx. tubos B	1 x Ø cm	2,2	3,9
Consumo betão até ao topo**	m³/m²	0,006	0,007
Peso de cada unidade	kg	0,800	0,840
Dimensões da paleta	a x b x h	110 x 110 x 252	110 x 110 x 254
	kg.	500	520
	Un.	600	600
	M²	150	150
Painéis L-Plast	H cm	-	-
	L cm	-	-
	P cm	-	-

\* Com relação ao material reciclado admite-se uma tolerância de ± 1.5%  
 \*\* O volume pode variar dependendo das condições do jacto e a tolerância do material.

	8	10	12	14	16	18	20
Dimensões úteis*	50x50	50x50	50x50	50x50	50x50	50x50	50x50
Altura h Espaço livre túnel	5,9	5,8	7,7	9,8	11,8	13,8	15,8
Diâmetro máx. tubo A	5,9	5,8	7,7	9,8	11,8	13,8	15,8
Diâmetro máx. tubos B	5,9	5,5	7,5	9,4	11	12,5	13,5
Consumo betão até ao topo**	0,010	0,013	0,021	0,028	0,030	0,033	0,034
Peso de cada unidade	0,875	1,200	1,225	1,250	1,275	1,300	1,325
Dimensões da paleta	110 x 110 x 256	110 x 110 x 220	110 x 110 x 220	110 x 110 x 230	110 x 110 x 220	110 x 110 x 220	110 x 110 x 220
	640	576	576	420	420	430	430
	600	480	480	340	320	320	320
	150	120	120	85	80	80	80
Painéis L-Plast	12	12	12	12	14	16	18
	205	205	205	205	205	205	205
	8	8	8	8	7	7	7

## Possibilidades de dimensionamento de SLU referentes ao Iglú® Plus H 27 cm

A tabela expressa, a partir de possibilidades de carga distribuída de forma uniforme, a espessura mínima da laje, o tipo de armadura e a pressão no terreno em função do tipo de betão pobre. Para saber as medidas de todas as diferentes alturas consulte as respetivas fichas técnicas.

Possibilidades de sobrecarga Kg/m²	Espess. betão pobre cm	Pressão na base do pilar Kg/cm²	Laje cm	Rede Ø mm malha cmxcm
2.000	0	0,57	3	Ø5 25 x 25
	5	0,23		
	10	0,12		
4.000	0	1,01	4	Ø5 20 x 20
	5	0,42		
	10	0,22		
6.000	5	1,60	5	Ø6 20 x 20
	10	0,61		
	15	0,32		
13.000	5	3,34	7	Ø8 20 x 20
	10	1,21		
	15	0,66		
25.000	10	2,20	10	Ø8 15 x 15
	15	1,16		
	20	0,71		

## Pressões na base da estrutura

A tabela indica, partindo das várias hipóteses de sobrecarga e de espessura a dar à laje, as pressões que serão exercidas nos pés da estrutura em relação às espessuras (possíveis) do betão pobre.

Utilização	Sobrecargas* kg/m²	Laje cm	Rede Ø mm malha cmxcm	Espess. betão pobre cm	Pressão na base do pilar Kg/cm²					
					Iglú® H 4	Iglú® H 6	Iglú® H 8	Iglú® H 10	Iglú® H 12	Iglú® H 14
Habitações	400	4	Ø 5/25x25	0	1,16	1,31	1,57	0,151	1,92	0,93
				5	0,26	0,275	0,29	0,30	0,33	0,34
				10	0,126	0,13	0,136	0,138	0,15	0,19
Escritórios	600	4	Ø 5/25x25	0	1,63	1,83	2,12	2,08	2,61	1,25
				5	0,34	0,36	0,39	0,39	0,43	0,44
				10	0,16	0,165	0,17	0,17	0,185	0,24
Garagens	1100	5	Ø 6/20x20	0	2,84	3,2	3,8	3,57	4,4	2,11
				5	0,56	0,59	0,63	0,62	0,68	0,7
				10	0,247	0,255	0,267	0,26	0,28	0,37
Edifícios industriais	2100	6	Ø 6/20x20	0	5,2	5,87	7,04	6,48	7,99	3,8
				5	0,98	1,03	1,16	1,08	1,18	1,22
				10	0,418	0,43	0,45	0,44	0,47	0,61

\* Sobrecargas acidentais nos vários locais, como previsto na Tabela 3.1.II NTC 2008 – Valores das cargas de exercício para as várias categorias de edifícios.

## Gama

O material não teme as intempéries e, portanto, pode ser armazenado em ambiente externo.



22	25	27	30	35	40	45
50x50	50x50	57,8x57,8	50x50	50x50	50x50	50x50
17,8	20,5	22,5	26,3	31,3	36,3	41,3
17,8	20,5	22,5	25	26,5	28,5	29,5
15	15	16,8	13	14,5	15	16
0,036	0,039	0,043	0,046	0,052	0,058	0,064
1,350	1,450	1,800	1,600	1,700	1,800	1,900
110 x 110 x 225	110 x 110 x 225	120 x 120 x 240	110 x 110 x 250	110 x 110 x 255	110 x 110 x 260	110 x 110 x 250
440	450	560	510	540	570	570
320	320	300	320	320	320	300
80	80	100	80	80	80	75
20	23	25	28	33,5	38,5	43,5
205	205	205	205	205	205	205
7	12	7	7	16,5	11,5	6,5



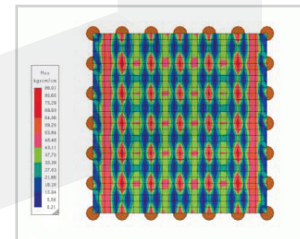
50	55	60	65	70	75	80
57,8x57,8	57,8 x 57,8	57,8x57,8	71x71	71x71	71x71	71x71
45,5	50,4	55,4	60,7	65,7	70,7	75,7
30,8	32,2	33,6	45	45	45	45
16,6	17,3	18,1	25	25	25	25
0,077	0,080	0,083	0,112	0,114	0,117	0,118
2,880	2,98	3,085	4,600	4,760	4,870	5,350
120 x 120 x 262	120 x 120 x 262	120 x 120 x 262	80 x 160 x 250	80 x 160 x 250	80 x 160x 250	80 x 160 x 250
725	689	725	564	564	558	600
240	228	228	120	116	112	110
80	76	76	60	58	56	55
49	49	59	64	69	74	79
205	205	205	205	205	205	205
7	7	7	15	10	15	10

## Pressões na base da estrutura

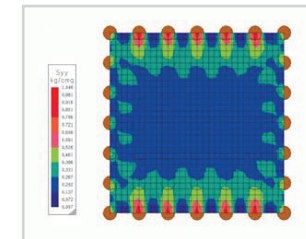
As hipóteses de sobrecarga indicadas são as normalmente previstas pela normativa; as capacidades efectivas são muito superiores. Para conhecer os valores pontuais ou dimensionamentos de acordo com as indicações de projecto, contacte o gabinete técnico.

Pressão na base do pilar Kg/cm²																
Iglú® H 16	Iglú® H 18	Iglú® H 20	Iglú® H 22	Iglú® H 25	Iglú® H 27	Iglú® H 30	Iglú® H 35	Iglú® H 40	Iglú® H 45	Iglú® H 50	Iglú® H 55	Iglú® H 60	Iglú® H 65	Iglú® H 70	Iglú® H 75	Iglú® H 80
0,98	1,07	1,14	1,23	1,23	1,7	0,96	1,11	1,32	1,59	1,65	1,92	2,19	3,3	3,3	3,3	3,3
0,36	0,38	0,39	0,41	0,42	0,56	0,36	0,39	0,43	0,48	0,57	0,62	0,67	0,99	0,99	1,00	1,00
0,2	0,21	0,21	0,22	0,22	0,3	0,2	0,22	0,23	0,25	0,31	0,325	0,34	0,48	0,49	0,49	0,49
1,32	1,44	1,53	1,64	1,73	2,25	1,27	1,46	1,73	2,07	2,13	2,47	2,81	4,1	4,11	4,13	4,15
0,46	0,48	0,5	0,52	0,54	0,71	0,46	0,5	0,55	0,6	0,71	0,77	0,83	1,21	1,21	1,22	1,22
0,25	0,26	0,26	0,27	0,28	0,37	0,25	0,265	0,28	0,3	0,377	0,398	0,42	0,59	0,59	0,6	0,6
2,21	2,4	2,56	2,74	2,87	3,71	2,09	2,38	2,81	3,33	3,38	3,90	4,43	6,21	6,23	6,25	6,27
0,73	0,76	0,79	0,82	0,84	1,11	0,71	0,77	0,84	0,92	1,08	1,16	1,25	1,8	1,8	1,81	1,81
0,37	0,39	0,4	0,41	0,42	0,55	0,37	0,4	0,42	0,45	0,55	0,58	0,61	0,86	0,86	0,87	0,87
3,95	4,23	4,56	4,87	5,1	6,56	3,7	4,19	4,91	5,79	5,83	6,72	7,6	10,3	10,3	10,4	10,4
1,25	1,31	1,35	1,4	1,43	1,89	1,21	1,3	1,42	1,55	1,8	1,94	2,07	2,95	2,96	2,96	2,97
0,62	0,64	0,66	0,67	0,69	0,91	0,61	0,64	0,68	0,73	0,89	0,94	0,98	1,39	1,40	1,40	1,40

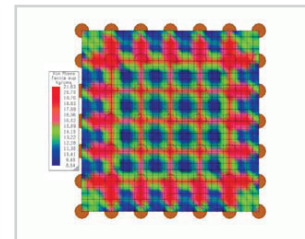
## Análise gráfica do comportamento da estrutura em betão



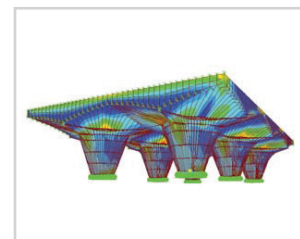
Vista do estado de tensões da placa Mxx



Vista do estado de tensões da placa Sxx



Vista do "estado de tensões ideal" da placa critério de Von Mises



Vistas do modelo submetido a análise estrutural.

